# ボーリングで検出された破砕帯付近での放射能探査の活用

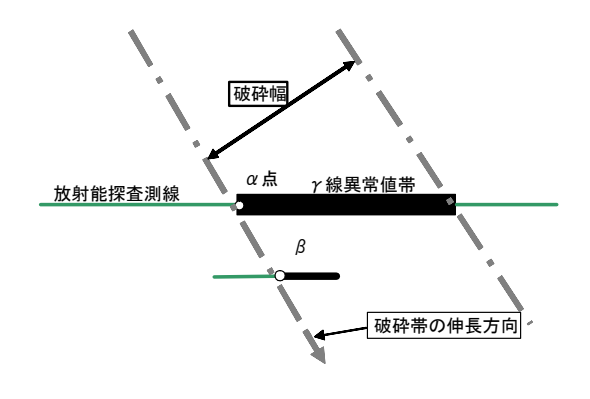
復建調査設計株式会社 吉村辰朗 濱村和馬 正会員 梅本幸男

#### 1. はじめに

構造物を設計・施工するうえで、如何に地盤状況を把握し 地盤モデルを設定するかが重要である。構造物基礎の地盤 調査としては、主にボーリング調査が実施されるが、調査時に 破砕帯が検出された場合、その分布が構造物全体に影響す るため、破砕帯の規模と伸張方向の把握が必要となる。破砕 帯の分布如何によっては、構造物計画に影響を及ぼし、いわ ゆる地質リスクが生じる。破砕帯分布を調べる従来の手法とし ては、追加ボーリングや物理探査(弾性波探査、電気探査)が 主に行なわれるが、経費・時間が掛かる割には細かい分布を 把握しきれない場合が多い。本稿では、破砕帯の規模(破砕 幅)・伸張方向(走向)を10cmオーダーで簡便に把握できる物 理探査手法として放射能探査(γ線測定)を実施し、構造物基 礎調査における地質リスクの低減を目指した事例を紹介する。

#### 2. 調査方法

岩石や鉱物中にはわずかであるがウラン系列元素( $^{239}$ U),トリウム系列元素( $^{232}$ Th)など天然放射性同位元素がふくまれている. 放射能探査( $\gamma$ 線測定)は、これらの元素が崩壊過程で放出する $\gamma$ 線をシンチレーションサーベイメータ(TC-151,アロカ社製)で検出し、その強度(放射線の数)を全計数法で計測する方法である.  $\gamma$ 線強度の単位は 1cm 線量当量率(Sv/h)で、測定誤差は 3%以下である. 測点間隔は 2.0m で、 $\gamma$ 線強度異常値が出現した地点付近では 10cm 間隔で測定し $\gamma$ 線強度異常値区間を求めた. この測定法で $\gamma$ 線異常値区間境界点( $\alpha$ 点)を求め、測線より 50cm~1m 程シフトさせて同様に境界点( $\beta$ 点)を 10cm オーダーで求め、 $\alpha$ 点と $\beta$ 点を結んだ方向を破砕帯の走向とした $^{10}$ . 走向に直交する $\gamma$ 線強度異常値区間を破砕幅と定義した( $\mathbf{Z}$ -1).



図−1 放射能探査 (γ線測定)で検出した破砕幅

#### 3. 第一次調査(地表踏査,ボーリング)

計画の橋梁地点に分布する地質は、三郡変成岩類に属する泥質片岩・砂質片岩である。ボーリングは橋台予定地で実施したところ、右岸側(No.2)で破砕帯が確認された。次に破砕帯分布を確認するために斜掘りボーリング(No.3~No.4)、鉛直ボーリング(No.5)、水平ボーリング(No.6)を実施した(図-2)。



図-2 ボーリング調査位置

破砕帯のコア性状は、断層角礫と柱状コアが互層状になっており、堅硬な箇所は片理面で分離しやすい(写真-1).



写真-1 No.9 ボーリングコア写真(破砕帯)



図-3 踏査図

地表踏査の結果,右岸側橋台付近に破砕帯の露頭が確認されたことと,河床の露岩がNE-SW方向で境されることから(図-3),右岸橋台の岩着深度付近における破砕帯分布をNE-SW方向とした(図-4).また,破砕帯は道路方向に19m分布すると推定した.

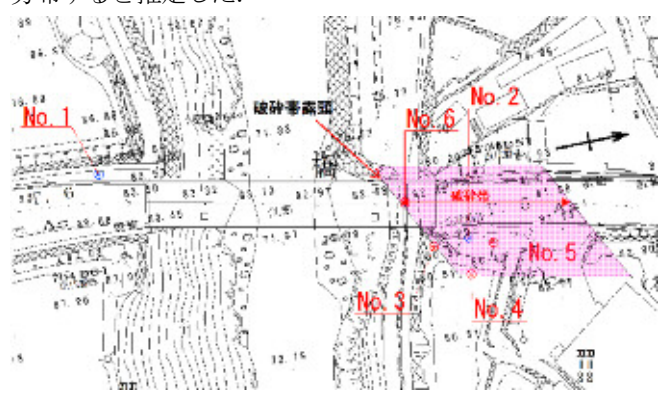


図-4 右岸側橋台付近の破砕帯分布図

### 4. 第二次調査(放射能探査,ボアホールスキャナ)

調査地付近の地形判読の結果,橋台付近には河川方向と同様な WNW-ESE 方向のリニアメント(線状構造)が認められる.このリニアメントの有無を調べる目的で放射能探査を実施した.橋台付近の表層には盛土が分布するため,当層を対象にしては地山の破砕帯が検出できないので,東方約 150m の山体で測定を行った(図-5).

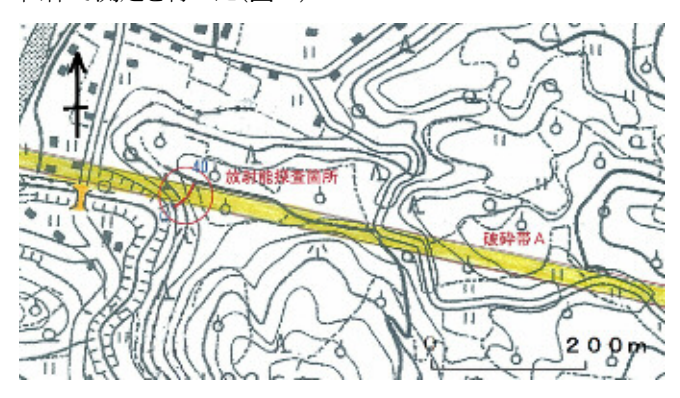


図-5 リニアメントと放射能探査箇所

 $\gamma$  線測定の結果(**図-6**), 破砕帯の走向は N78° W, 規模 (破砕幅)は 24.4m であった.

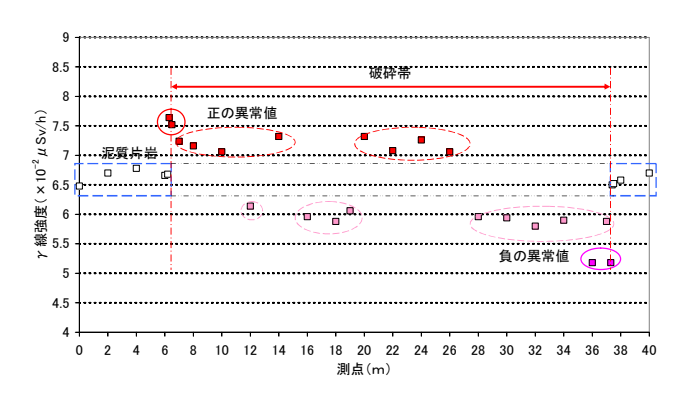


図-6 γ線測定結果図(A測線)

一次調査で破砕帯域と想定し、橋台に影響すると考えられる 箇所でボーリング(No.7 と No.8)を実施した(図-7). その結果、 泥質片岩・砂質片岩の互層が確認され、片理面で分離しやす いが硬質な岩盤が確認された。



図-7 ボーリング調査位置と破砕帯分布(黄色)

今回は破砕帯の走向・傾斜を確認するために、破砕帯の 南側端部付近と推定した No.9 においてボアホールスキャ ナを実施した. 断層境界の観察結果を表-1 に示す(写真-1).

表-1 断層角礫の走向・傾斜

番号	深度	走 向	便 斜
6 6	GL-8, 2m	N85° W	61° N
7 1	GL-12.4m	N 7 8° W	48° N

図-8 に破砕帯の走向に直交方向の断面図を示す. 今回破砕帯の南側端部で実施した Bor. No. 9 と一次調査結果 (D 級岩盤分布) から、破砕帯の傾斜は 70° 北落ちと考えられる. 今回明らかになった破砕帯の緒元は以下のとおりである.

破砕帯の緒元

走向	傾斜	破砕幅
N 7 8° W	70° N	24.4m

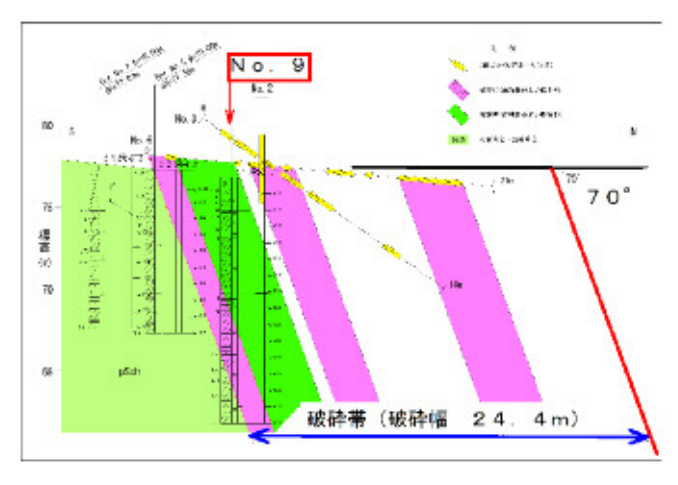


図-8 破砕帯に直交する地質断面図

## [引用文献]

1) 吉村辰朗(2006): 破砕幅の成長過程から推定される活断層の発生数と発生時期, 活断層研究, No.26, pp.7-14.